

ИЗМЕРЕНИЕ ОТРАЖЕНИЯ СУБНАНОСЕКУНДНЫХ ИМПУЛЬСОВ МОЩНОГО ЛАЗЕРА ОТ ТВЕРДОЙ МИШЕНИ ИЗ LiD

В. Д. Дятлов, Р. Н. Медведев, В. Н. Сизов, А. Д. Стариков

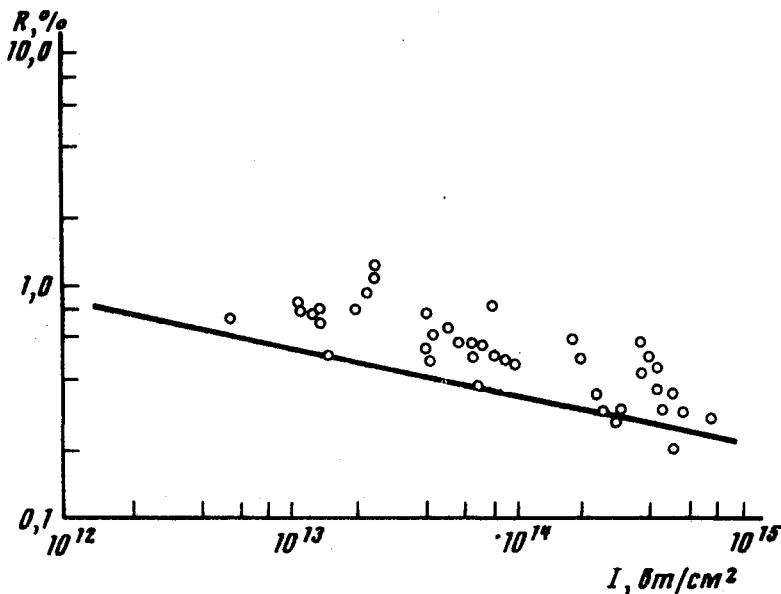
Приводятся результаты измерения коэффициента отражения интенсивного ($10^{13} \div 10^{15} \text{ вт}/\text{см}^2$) лазерного излучения от мишени из дейтерида лития. Величина коэффициента и его зависимость от интенсивности падающего излучения не могут быть объяснены в рамках столкновительно-поглощения.

1. Отражение излучения при нагревании мишеней определяет эффективность использования лазеров для термоядерных реакций. Кроме того, при больших значениях коэффициента отражения, необходимо принимать специальные меры, предохраняющие мощные лазерные системы от разрушения.

В связи с непрерывным ростом мощности световых потоков, особенно важно выяснить поведение коэффициента отражения при больших интенсивностях. Если поглощение энергии падающего излучения будет определяться тормозными процессами, то величина его будет уменьшаться с ростом интенсивности. Доля отраженной энергии будет увеличиваться, а эффективность нагрева падать. Если же поглощение будет обусловлено нелинейным взаимодействием, то возможно его увеличение. Измеренные коэффициенты отражения от дейтериевого льда [1 – 3] и мишеней с большой теплотой сублимации [4 – 6] сильно отличаются по величине и виду зависимости от интенсивности.

2. Нами измерен коэффициент отражения от мишени из дейтерида лития (теплота сублимации 54 ккал/моль) при интенсивностях падающего излучения ($\lambda = 1,06 \mu\text{м}$) от 10^{13} до $10^{15} \text{ вт}/\text{см}^2$. Для эксперимента использовался мощный лазер на неодимовом стекле [7], с длительностью выходного импульса $\tau = 90$ пикосекунд и выходной энергией 300 дж. Однако, для лучшей стабильности результатов, исследования проводились при энергиях до 100 дж. В угол $\psi = 10^{-3}$ рад попадало 84% энергии излучения, которая линзой с фокусным расстоянием $f = 235 \text{ мм}$ и апертурой $f/2,5$ собиралась на мишени в пятно с площадью $S_0 = 10^{-3} \text{ см}^2$. Во время вспышки мишени облучались малоинтенсивным светом люминесценции ($I \sim 10^6 \div 10^7 \text{ вт}/\text{см}^2$, $\Delta t \sim 10^{-4}$ сек), затем – во время формирования основного импульса – усиленными шумами генератора ($I \sim 10^{10} \div 10^{12} \text{ вт}/\text{см}^2$, $\Delta t \sim 10^{-8}$ сек) и наконец – импульсом основной энергии. Контраст по энергии $\gg 10^4$ обеспечивался рядом активных и пассивных затворов. Кристаллы LiD облучались в вакууме $P = 10^{-5} \text{ тор}$. Энергия попадающая на мишень E_{in} , отраженная назад в апертуру линзы E_r , а также рассеянная под углом 135° к направлению падающей E_s измерялась колиброванными калориметрами. Одновременно производилась развертка во времени интенсивности падающего и отраженного излучения на фотоэлектронном регистраторе с разрешением $\sim 60 \text{ псек}$.

Наряду с этими параметрами измерялся выход нейтронов, электронная температура и интенсивность второй гармоники отраженного излучения.



3. На рисунке показана измеренная зависимость отношения $R = E_r / E_{in}$ от интенсивности падающего $I = E_{in} / S_{\sigma r}$. Изменение интенсивности осуществлялось как вариацией E_{in} , так и S_{σ} , оба способа приводили к одинаковым результатам. Форма отраженного импульса в основном совпадала с формой падающего. Величина энергии E_s , попадающей в телесный угол 0,12 стерад составляла $(2 \div 3) \cdot 10^{-4} E_{in}$. Электронная температура $T_e \sim 1 \div 2 \text{ кэв}$, максимальный выход нейтронов $\sim 10^6$ были зарегистрированы при фокусировании излучения на поверхности мишени. В этих же условиях интенсивность второй гармоники в отраженном назад свете оказывалась максимальной. Наличие второй гармоники и зависимость коэффициента отражения от интенсивности, не совпадающая с классической, свидетельствуют в пользу нелинейного характера поглощения. Возможно, что в отличие от [1 - 3], где зарегистрированы большие коэффициенты отражения, увеличивающиеся с ростом энергии, в нашем случае, благодаря более высокой теплоте сублимации, испаренное перед основным импульсом вещество образует облако с меньшей оптической плотностью. При этом увеличение контраста на установках облучающих легкоиспаряющиеся вещества должно привести к уменьшению отражения.

Институт электрофизической аппаратуры
им. Д.В.Ефремова

Поступила в редакцию
23 июля 1973 г.

Литература

14 декабря 1973 г.

[1] F. Floux. Nuclear Fusion, 11, 635, 1971.

[2] K. Eidmann, R. Siegel. Preprint IPP IV/46 München, 1972.

- [3] C. Yamanaka , T. Yamanaka , T. Sasaki , K. Yoshida , M. Waki , H.B. Kang .
Physical Review , 6, 2335, 1972.
 - [4] Н.Г.Басов, В.А.Бойко, О.Н.Крохин, О.Г.Семенов, Г.В.Склизков.
ЖТФ , 38, 1973, 1968.
 - [5] А.А.Рупасов, Г.В.Склизков, В.П.Цапенко, А.С.Шиканов. Препринт
ФИАН №53, Москва, 1973.
 - [6] J. W. Shearer, S. W. Mead, J. Petrizzi. F. Rainez, J. E. Swain,
C. E. Violet. Physical Review , 6, 764, 1972.
 - [7] М.П.Ванюков, В.И.Крыжановский, В.А.Серебряков, В.Н.Сизов,
А.Д.Стариков. Оптико-механическая промышленность , №12, 31, 1972.
-